

親愛的讀者：

當您讀完這本書後，請尽量地指出本書內容、設計和校對上的錯誤和缺點，以及对我社有關出版工作的意見和要求，以幫助我們改進工作。來信請寄北京東交民巷二十七號本社收（將信封左上角剪開，註明郵資總付字樣，不必貼郵票），並請詳告您的通訊地址和工作職務，以便經常联系。

機械工業出版社

統一書號
15033·482

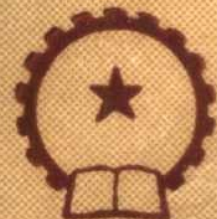
定價 3.00 元

高等学校教学用書

铸工车间设备

下册

H.阿克簫諾夫、П.阿克簫諾夫著



机械工业出版社

高等學校教學用書



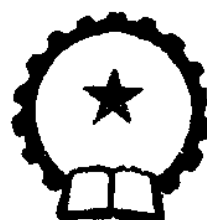
鑄工車間設備

下册

譯者

歐陽暉、唐子青、楊洪良
傅伯成、謝行偉、李敬
項其权、屠鳳伯、管楚良

苏联高等教育部审定为高等工業学校教科書



机械工业出版社

1957

出版者的話

本書是根据苏联国立机器制造書籍出版社 (Машгиз) 1950 年出版的 H. 阿克簫諾夫 (Н. П. Аксенов) 和 П. 阿克簫諾夫 (П. Н. Аксенов) 著的 [鑄工車間設備] (Оборудование литейных цехов) 一書譯出的。原書經苏联高等教育部审定为高等工業学校教材，它是鑄造机器和鑄造工艺專業的主要用書。

原書分上、下兩冊，上冊包括爐料倉庫和熔化工部的机械化及制备造型材料的机械化，下冊包括造型和制备型心的机械化及鑄件落砂和清理的机械化。本書为下冊，敍述了鑄工車間造型、制型心、落砂和清理等工序机械化用設備的理論、結構、計算原理以及選擇用这些設備的参考数据。本書除可作为我国高等学校鑄造專業的教材外，还可供机器制造厂及有关設計部門的工程技术人员作为参考。

NO. 1233

1957 年 4 月第一版 1957 年 4 月第一版第一次印刷

787×1092^{1/18} 字数 417 千字 印張 24^{2/9} 0,001—5,200 冊

机械工业出版社(北京东交民巷 27 号)出版

机械工业出版社印刷厂印刷 新华书店發行

北京市書刊出版業營業許可証出字第 008 号

定价(10) 3.00 元

下册 目次

第三編 造型和制型心的机械化

前言 造型机械化的条件.....	7
第一章 造型机的分类.....	9
1. 造型机依捲实型砂的方法分类.....	9
用手工捲型的造型机——压实式造型机——震实式造型机——压实式造型机与震实式造型机 的比較——震动作为捲实的方法——抛砂机——特种造型机	
2. 造型机依起模方法分类.....	26
頂桿式造型机——漏模式造型机——轉板式及翻台式造型机	
3. 造型机依傳动方法分类.....	28
4. 造型机与制型心机的牌号.....	29
第二章 手工捲砂的造型机.....	30
1. 手工捲砂造型机的構造.....	30
2. 手工捲砂造型机机构的計算.....	34
3. 气动捲砂器.....	35
第三章 压实式造型机.....	36
1. 气动压实式造型机的工作过程与計算.....	37
工作过程——活塞面積的計算——机器穩定性的計算	
2. 現代化压实式造型机的設計原則.....	41
机器須有最大的机械化程度——須几个操作同时進行工作——砂型捲緊度的改進与自动調節	
3. 压实式造型机的結構.....	45
压实式造型机結構的構件——上压式的气动造型机——下压式的气动双联造型机——自动化 压实式造型机——电磁压实式造型机	
第四章 造型机震实机构的理論和計算.....	71
1. 震实机构的分类.....	71
2. 气动震实机构的工作过程.....	75
問題的一般特性——震实气缸指示圖的近似分析構作法——震实气缸指示圖按实际数据進行 近似構作的方法——各种型式的震实机构的指示圖——震实式造型机指示圖的分析示例—— 按照指示圖計算时间、速度和加速度——气动震实机构在不同工作負荷时的功	
3. 气动震实机构的計算.....	98
一般的計算方法——進氣孔和排气孔断面的計算——震实活塞的动力計算	
第五章 震实机上砂型捲实度的自動調節	102
1. 問題的一般特性	102
2. 根据震实时间的調節	103
流动的流出活門——气动的流出活門——自动的时间活門——用時間繼电器的調節器	
3. 根据功的調節	115

按 hn 不变性的調節——按功 a 不变性的調節——按功 α 不变性的調節	
4. 用直接控制震实过程中砂型椿实度的調節方法	120
第六章 震实式造型机的結構	121
1. 簡單震实台	121
2. 脫箱造型用的震实式造型机	122
271 造型机——附翻型合型机构的脫箱造型机	
3. 附頂桿及頂架的震实式造型机	126
261 造型机——266 造型机——242 造型机——BФ-7 造型机	
4. 附轉板及翻台的震实式造型机	137
253 造型机——BФ-18 造型机——234 造型机	
第七章 抛砂机	170
1. 离心抛砂机机头的工作过程	171
固体微粒沿着旋轉叶輪的叶片的运动——抛砂机机头工作过程的計算	
2. 抛砂机的構造	174
293 固定式抛砂机——擺动式抛砂机——296 懸臂式抛砂机——帶有砂庫的 295 移动式抛砂机	
第八章 特种造型机	197
1. 供水管造型用的搗杵机	197
2. 供散热器造型用的軋輶机	201
第九章 型心机	205
1. 型心机的分类	205
套嘴式型心机——压实式型心机——震实式型心机——抛砂机——噴砂式型心机——特种型心机	
2. 型心机的構造	209
281 套嘴式型心机——283 手动震实式型心机——284 气动震实式型心机——型心用抛砂机——285 台式型心噴制机——287 立式型心噴制机——286 水平轉筒式型心噴制机——噴砂机噴制鑄型的应用——制造暖气散热器型心的自动軋輶机	
3. 制型心用的輔助設備	243
第十章 造型-合型-澆鑄工部和型心工部的运输设备	246
1. 吊車	246
2. 架空線路	247
架空線路的軌道——小車和起重機構	
3. 地面的無軌小車	259
4. 鑄工运输机	260
水平循環运输机——垂直循環运输机——鑄工运输机的工藝性計算	
5. 滚子运输器	276
6. 小車式运输器	279
7. 架空运输机	279

8. 膠帶运输机	284
9. 鑄工車間造型-合型-澆鑄工部和型心工部裝用运输設備的实例	284

第三編 參考文獻

第四編 鑄件落砂与清理的机械化

第一章 出型落砂的設備	295
1. 吊掛式震动器	295
2. 震动橫擔	296
3. 震动落砂机	297
氣動式震动落砂机——機動式震动落砂机	
4. 震实式落砂机	302
5. 自動的出型落砂裝置	303
第二章 脫出型心的設備	309
1. 震动式脫出型心机	310
2. 水力脫出型心的裝置	312
總論——裝置舉例	
3. 帶砂的水力裝置	328
第三章 鑄件澆口和冒口的割斷以及鑄件的清剷和校直設備	333
1. 割斷澆口和冒口的設備	333
2. 鑄件的清剷与校直設備	335
第四章 清理鑄件的簡單滾筒	337
1. 滾筒的工作狀況	338
2. 滾筒的構造	339
第五章 清理鑄件用的氣動噴砂和噴丸設備	344
1. 氣動的噴砂机和噴丸机	345
吸取式噴射器——重力式噴射器——壓出式噴射器	
2. 關於氣動噴砂机和噴丸机的工作数据	350
砂和丸的粒度——工作噴咀的磨損和材料——空氣耗用量——砂粒和鐵丸的耗用量	
3. 噴砂机和噴丸机的構造	353
噴砂和噴丸滾筒——轉台和直進台——間歇作用的和連續作用的噴室	
第六章 机械噴丸的鑄件清砂設備	365
1. 噴丸叶輪的工作過程	366
作用原理——噴輪的工作過程——鐵丸与叶片間的摩擦影响	
2. 噴丸輪的結構	374
3. 噴丸清砂机的構造	379
帶式噴丸清砂滾筒——噴丸清砂轉台——連續作用的噴丸清砂室	
第七章 清理鑄件用的粗磨光机	387

1. 磨光輪的選擇	387
2. 固定式磨光机	390
3. 磨光机的自动化	391
4. 擺式磨光机	398
5. 攜帶式磨光机	400
第八章 鑄件落砂工部和清理工部的运输設備	403
1. 所採用运输設備的类型	403
2. 运輸設備舉例	408
第九章 除塵設備	414
1. 吸取的風量	415
2. 吸風罩口和罩壳	416
3. 灰塵分離裝置	417
第四編參考文献	

第三編 造型和制型心的机械化

前言 造型机械化的条件

鑄型的品質對於鑄件的好坏具有重大的意义。

制造鑄型的工藝过程是很复雜的，因此大多数鑄造廢品都是發生在这个过程中。整个說來，在机器制造中約有 50~60% 的鑄造廢品是由於鑄型的不良所造成的（造型，制型心，合箱，造型材料）而僅有 20~30% 是由於金屬和澆注所造成的。

从技術方面來看，机器造型的主要优点为鑄件精确与一致，是手工造型所达不到的。这特別是在大量生產时，有着重大的意义，因在大量生產时，为了可以使用夾具進行机械加工，所以鑄件的公差应很小。

从經濟方面來看，机器造型和手工造型比較，它主要的优点为提高劳动生產率和縮小鑄工車間需要的生產面積。

造型設備是現代机械化鑄工車間中最主要的設備。整个鑄工車間的机械化程度通常即由造型机械化的程度來決定。根据車間內使用那种造型方法——手工或机器的，使用最簡單的或現代化強力的造型机，压实式，震实式或抛砂机，流水作業式，运输机式或自动化的——在大部分情形下，即可以想像車間其他主要工部机械化的性質与整个車間的技術面貌。

然而並不是到处都可以採用机器造型。限制它使用的条件有下列几点：

1. 使用模型造型时，才可应用造型机，而使用靠板造型时，则不能使用造型机。虽然对於某些特殊鑄件例如鑄出齒形的大齒輪使用靠板造型时也使用机器，但这种机器並不是使大部分的操作机械化，而不过是一个簡單的裝置而已。一般地說，所有的靠板造型都是用手工進行的。

2. 机器造型必須使用砂箱，在地上造型不能用造型机。

3. 机器造型很少使用三个或三个以上砂箱，通常僅用兩個砂箱。因为对某些造型机中間砂箱上第二个分离面的位置很难对准。此外，現代最常用的震实式造型机砂箱的平面易於磨損，就不易配准，必須时常將砂箱磨平，中間砂箱的高度因而很快就不对了。

4. 对於制造巨型鑄件普通的气动造型机過於巨大、笨重、昂貴。僅於大批生產时方为合算。因此制造大鑄型时如果只是小批生產或單件生產，通常僅填砂与摏砂使用机器操作(例如抛砂机)。

5. 最后，只当使用可以摏实的混合物來制造鑄型时，方可使用造型机。这种造型混合物即为“型砂”，当使用黏土造型时，不能使用造型机。

除了上述的一些技術条件外，机器造型也可受經濟条件的限制。为了确定机器造型是否合理，应首先將机器造型与手工造型的制造成本加以計算和分析。

一个(或一年，一月，一工作班的)鑄型的制造成本可分为三种：材料成本，人工成本与雜費成本。

材料(造型混合物，輔助材料)成本對於机器造型与手工造型並無多大差別。

手工造型工人的技術必須好些(也就是工資高些)，且整个手工造型过程的时间比机器造型長得多。因此，用手工造型的每一鑄型的人工成本通常要比用机器造型的高得多。

而对机器造型，折算到人工成本上的造型工部的雜費就要多得多。例如机器、模型与砂箱的折旧，保养管理机器的費用：电力，压缩空气和机器加油、檢查、校整、修理及运输等費用，这些雜費對於手工造型或者是沒有或者很少。因此無論絕對數值或与人工成本的对比关系，机器造型所需的雜費总要比手工造型高得多。

如果机器造型的上述三种成本的总和比手工造型的少，则机器造型就要便宜些，

$$M_m + P_m + H_m < M_p + P_p + H_p,$$

上式中所指的为每一鑄型的成本(盧布)， M ——材料的， P ——人工的， H ——雜費的；指数 m ——用机器造型，而 p ——用手工造型。

造型机單位時間的生產率越大，则每一鑄型的工資与雜費成本也就越小，因而机器造型也就越合算。因此創造高生產率的造型机特別是自動机是非常重要的。

机器造型时，下列造型机旁工作地的各项機構对於提高生產率有非常大的影响：配置各项裝置，送回空砂箱，用运输机，有砂斗，適當地排列型心及輔助材料的架子和佈置整个工作地。

即使应用高生產率的造型机，也只有当机器的利用率很高，接近於它能發揮整个生產率时，成本 P_m 才会降低。如果具有很高生產率的机器只利用來做很少数鑄型，將工人的工資計算到这一少量的鑄型上，因而 P_m 的數值很大，虽然机器的潛在的生產率很高。

因此，对於造型机(对其他机器也是一样)应有一个合理的利用系数。对各种不同性質的鑄件，不同的鑄工車間机械化的程度与不同类型、大小、外形的造型机这一利用系数也将不同。故应在每一不同的情況下根据計算來決定。

实际上当設計鑄工車間时[30]，如果車間是中等或很少的机械化，则造型机合理的利用率应为 40~50%。对於大量生產应用运输机流水作業式的鑄工車間，造型机最小的設計利用率应为 75% [32]。

但是应当指出，上述的几种造型成本並不足夠且不能作为唯一的標準，來解決究竟是机器造型还是手工造型合理的問題。必須从社会主义的合理性的觀點來研究此問題，並考慮到下列許多最重要的因素，如提高劳动生產率，解脫工人手工操作，縮小造型工部的生產面積以及改善劳动条件的衛生因素。

第一章 造型机的分类

造型机使造型过程的兩种主要操作机械化：摺实型砂与起出模型。因此造型机可有下列分类法：

- 1) 依摺实型砂的方法分类；
- 2) 依起出模型的方法分类。

此外，造型机的机构可用各种方法使之动作。因此，还可有

- 3) 依傳动方法分类。

1 造型机依摺实型砂的方法分类

根据在砂箱中型砂摺实方法的不同，造型机可分为下列五类：

- | | |
|---------------------------|------------|
| 1) 用手工摺型的造型机； | 2) 压实式造型机； |
| 3) 震实式造型机； | 4) 抛砂机； |
| 5) 特种造型机（摺实型砂的方法与上述的都不同）。 | |

为了估計在各种条件下上述各种类型的造型机的適用性，必須簡略地說明一些用各种摺实方法以摺緊鑄型的理論。由於在“鑄工工藝學”教程中關於摺緊鑄型的理論研究得很詳細，故此处只說明一些必要的理論与公式，並不作出結論，僅作为上述教程中某些研究得較少的部分的补充說明而已。

用手工摺型的造型机

在用手工摺型的造型机上，砂是用手工或气动摺砂器摺緊，和普通手工造型是一样的。因此这种机器僅不过是一种起出模型的裝置而已。

由於手工摺型操作需时很長，所以用手工摺型的机器的生產率很低。但是这种机器構造較簡單，因而較机械摺型的机器便宜得多。

使用手工或气动摺砂器乃依次按層摺緊，每層厚約 50~75 公厘。沿着高度上每層的摺緊程度不一：上面摺得較緊，而下面較松。这是由於摺砂器底座所加的压力沿着深度上成如圖 1 所示的情形分佈。圖 1 是根据盖克列尔(Кеглер)的試驗所得的在干砂內剛性摺模下的垂直等压曲線。等压線上的数字表示压应力值，以摺模的平均比压的百分数为單位。如圖 1 所示，摺模的压力沿着深度分佈的面越來越廣，因此越深則比压值也越小。

至於沿着砂箱高度上各層摺緊度的分佈情形，当用手工摺型时是与造型工的熟練程度和留心的程度有很大的关系，因而不能是固定不变的。因此，当用手工摺型时，決無把握保証鑄型摺緊的品質一律，所以也不能保証鑄件尺寸精确度的一律，無局部漲大等等。

現在，手工摺砂的造型机，僅在机械化程度很少的車間內、缺乏压缩空气、生產規模不大同时僅做小批鑄件时才应用。此外在大量生產的鑄工車間中，某些用手工摺

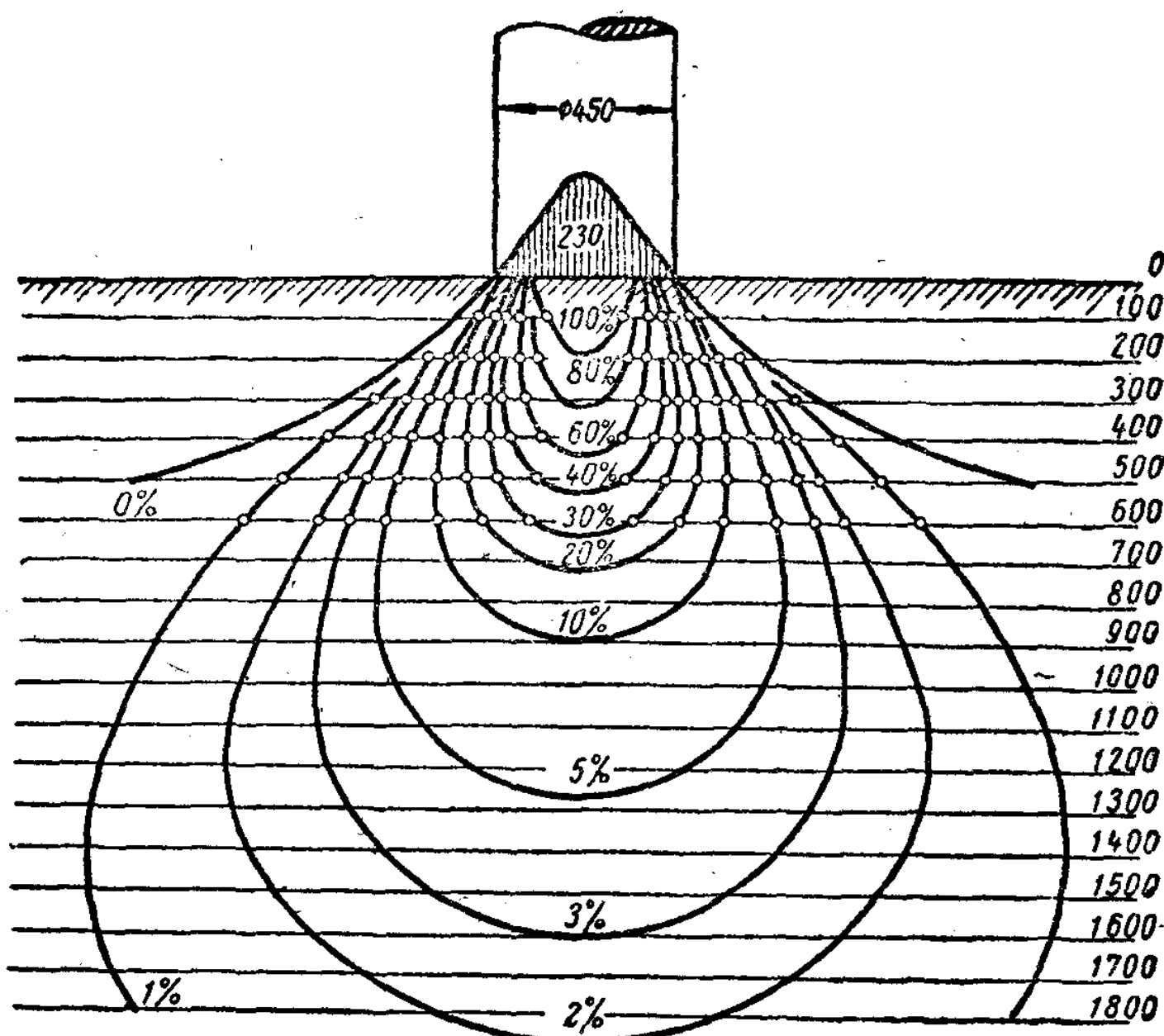


圖 1 在干砂中垂直压应力分佈圖。

型的机器僅用來作为起模的裝置，椿型是用抛砂机來進行。

压实式造型机

压实式造型机可分为上压式与下压式兩种。

上压式造型机(圖 2, a) 盛於填充框內的型砂是从分离面相对的一边被压入砂箱。下压式造型机(圖 2, b) 型砂是从型板的一边压入。此时，固定台面上的凹穴即作为填充框，型板固定於压实台上，並位於凹穴内，当压实时向上运动。

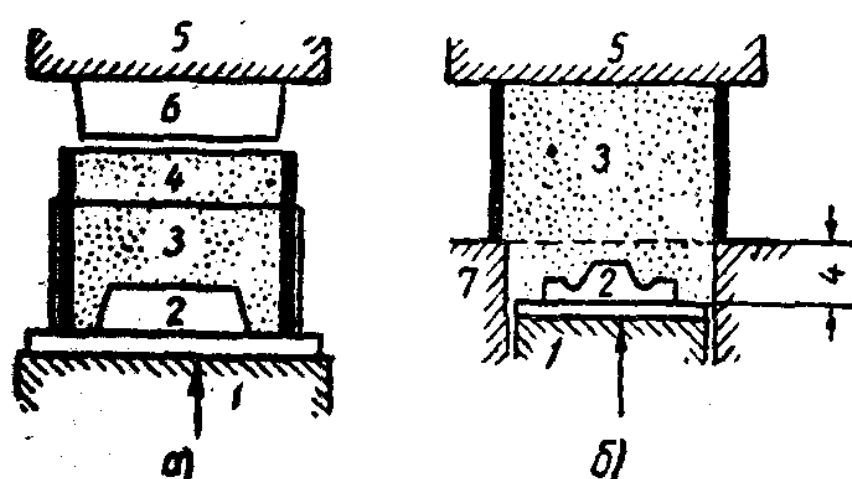


圖 2 上压式与下压式簡圖：

1—压实台；2—模板；3—砂箱；4—填充框；
5—横臂；6(左)—压板；7(右)—机器的
固定台面。

上压式造型机易於改放其他尺寸的砂箱，也不需像下压式造型机那样精确的調整压程的長度。因此下压式造型机多半僅应用於大量生產。

当压实鑄型时，椿緊作用的主要因素为單位压实力 p 公斤/公分²。根据鑄工工藝学教程指出，平均椿緊度或平均單位体積的重量 δ 克/公分³ 与压实力的关系可用下式表示

$$\delta = 1 + C p^{0.25}, \quad (1)$$

上式中 C ——压实时鑄型的可椿緊系数。

式(1)为經驗公式，是由技術科学博士阿克蕭諾夫(H. H. Аксенов)教授根据在莫斯科工業大学鑄工实验室進行的多次實驗确定的。

上式中的可撓緊系数 C 在一般情形下，实际約為 $0.4 \sim 0.6$ 。顯然，當压实力 $p=1$ 公斤/公分² 时， $C=\delta-1$ 。當变更压实以前砂箱中型砂的堆積高度 H_0 (公分)，則系数 C 依下式变化：

$$CH^{0.19} = \text{常数。} \quad (2)$$

當压实力在 5 公斤/公分² 以内时 (这已超过了实际常用的压实力 2~2.5 公斤/公分²)，式(1)与实验所得数字非常相符。

在極小压力范围内实际撓緊曲線与式(1)所得的曲線可能有差別，依式(1)，當 $p=0$ 时，最初的撓緊值 $\delta_0=1$ 克/公分³，而实际上 δ_0 可能为其他数值。同样的在極大压力范围内实际压实曲線也与式(1)的曲線不符。实际上型砂單位体積的重量 δ 不能無限度增加，甚至於达不到型砂材料的比重。即使压力超过 100 公斤/公分²， δ 也不能达到 2 克/公分³。

上述式(1)在極小与極大的压力范围内与实验数字的差別並無实际的重要性，因为它不屬於实际常用的压力范围。

根据技术科学博士巴克罗夫斯基● (Г. И. Покровский) 研究的土壤变形的理論也可得出压緊鑄型的分析式[5]。

型砂一类的分散系統的試样經受变形后，一般地發生下列現象：

- 1)微粒間的一部分接触点由於試样向側边膨脹及内部移动而破坏了且
- 2)受压后微粒又接近而形成新的接触点。

压緊力 F 与压緊变形 ε 可有下列关系式

$$dF = A \cdot d\varepsilon,$$

上式中 $A = A' A'' =$ 变数，为 F 的函数，且乘数 A' 与 A'' 顧慮到上述第 1 与第 2 兩種現象。

由於接触点数目減少 (第 1 現象)， A' 应減少。其簡單关系式为

$$A' = a_1 (F_{\max} - F), \quad (a)$$

上式中 $a_1 =$ 常数， F_{\max} ——試样破坏时的受力。

由於接触点数目增加 (第 2 現象)， A'' 应增加。其簡單关系式为

$$A'' = a_2 F, \quad (b)$$

上式中 $a_2 =$ 常数。

由於第 1 与第 2 現象同时作用

$$A = A' A'' = a F (F_{\max} - F),$$

上式中 $a = a_1 a_2 =$ 常数。

由此

$$dF = a F (F_{\max} - F) d\varepsilon.$$

在砂箱中压緊鑄型时向旁边擴大的可能性沒有， F 与 ε 的关系式可簡化。此时 A' 可認為 = 常数，得

● 巴克罗夫斯基教授，土壤的物理学研究，1937。

$$dF = a' F d\epsilon, \quad (\text{B})$$

上式中 $a' = A' a_2 = \text{常数}$ 。

压緊試样的压力应再加上分散系統中毛細管收縮內力 F_k , 此力乃在微粒接触点由於湿气的毛細管張力所引起的, 且其作用方向与 F 力的方向相同。可以假定, 在系統受压缩与撗实的过程中 F_k 乃依照簡單关系式 $F_k = bF$ 增長, 上式中 $b = \text{常数}$, 由 (B) 式可得

$$dF = a'(F + F_k) d\epsilon = a' F(1 + b) d\epsilon$$

或

$$dF = k F d\epsilon, \quad (\text{r})$$

上式中 $k = a'(1 + b) = \text{常数}$ 。

將(r)式積分, 得

$$F = C e^{k\epsilon}.$$

設 $F = F_0$ ——当在开始撗实 $\epsilon = 0$ 时系統內的阻力。將此条件代入上式, 即可得 $C = F_0$ 。

因此, 压实力与变形的关系, 亦即压实方程式为

$$F = F_0 e^{k\epsilon}.$$

以單位压力 p 和 p_0 代 F 和 F_0 , 相对变形 λ 代絕對变形 ϵ 且 $\lambda = \frac{4H}{H_0}$ (式中 H —变动的, 而 H_0 —最初的砂箱中型砂的高度), 並使 $\frac{1}{k} = \rho$, 則可得压实方程式为

$$p = p_0 e^{\frac{\lambda}{\rho}}. \quad (3)$$

式(3)与实验所得的数字相符(圖3)。最初的撗实阻力 p_0 在一般情形中实际是很小的——約为 $0.01 \sim 0.05$ 公斤/公分²。可撗实系数 ρ 大多在 $4 \cdot 10^{-2}$ 到 $7 \cdot 10^{-2}$ 范圍內。式(1)中系数 C 与式(3)中系数 ρ 的关系为

$$C = \frac{\delta_0}{1 + \rho \ln p_0} - 1, \quad (4)$$

上式中 δ_0 ——在压实前砂箱中型砂平均單位体積的重量。

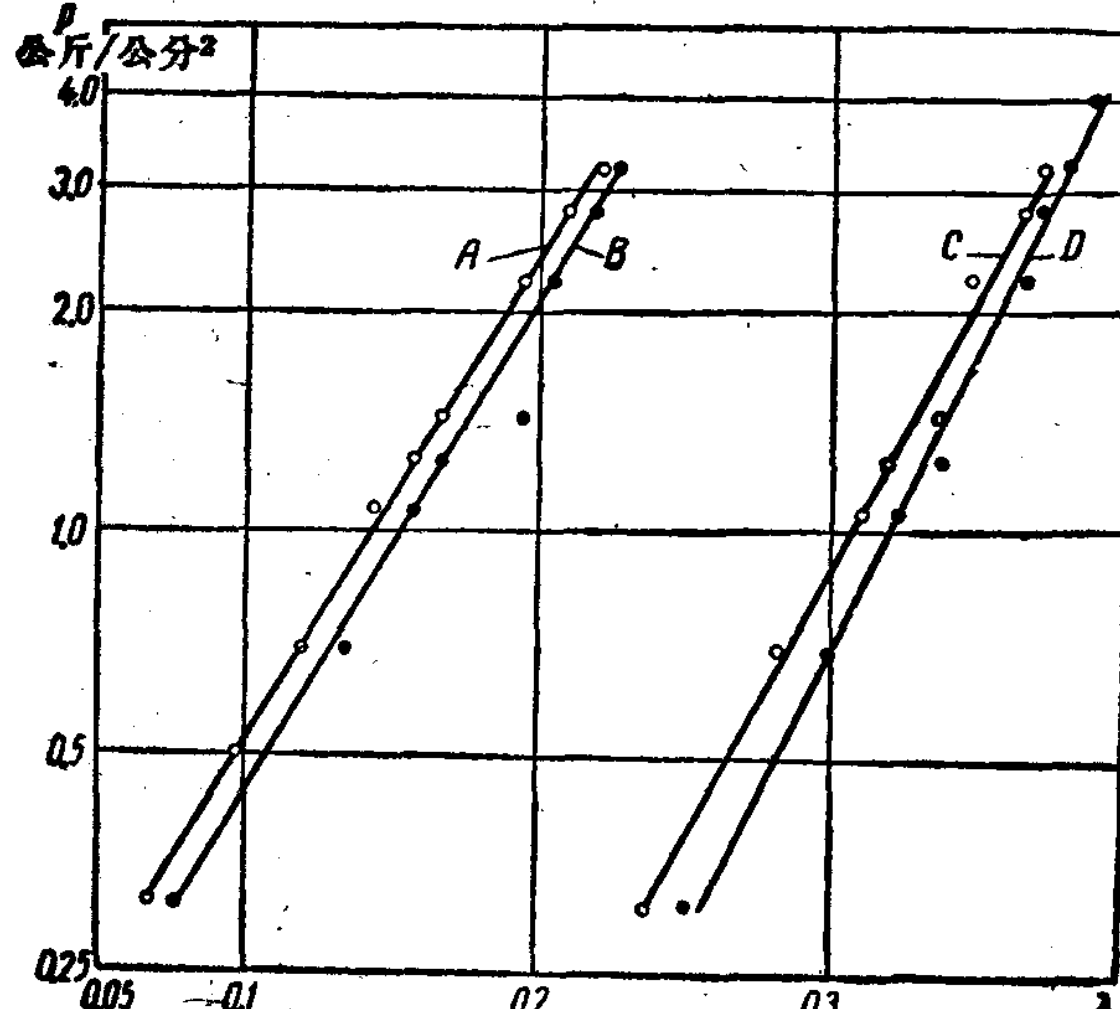


圖3 在 250×250 公厘, $H = 210$ 公厘的砂箱中压实时

$\log p$ 与 λ 的关系圖[5]:

$$A\delta_0 = 1.36, p_0 = 0.12, \rho = 6.7 \cdot 10^{-2};$$

$$B\delta_0 = 1.35, p_0 = 0.09, \rho = 6.5 \cdot 10^{-2};$$

$$C\delta_0 = 1.11, p_0 = 0.01, \rho = 6.0 \cdot 10^{-2};$$

$$D\delta_0 = 1.07, p_0 = 0.005, \rho = 5.5 \cdot 10^{-2}.$$

由於單位压实力很高, 每 1 平方公分砂箱面積需 $p = 2.0 \sim 2.5$ 公斤, 純粹的压实

式造型机僅应用於面積不大的通常最大为 4000~5000 公分² 的砂箱。在压实式造型机上造型用的砂箱高度通常不超过 200~250 公厘的范围，主要是由於砂型內砂的椿緊度分佈得不均匀和不好的原故。

除了垂直的压应力外，在压实的砂型內还有水平的也就是側压力，根据技術科学碩士丘那也夫(M. B. Чунаев) [3]的数据它約为垂直压力的 0.35~0.5。側压力引起型砂与砂箱壁間產生摩擦，因而消耗了一部分使型砂層沿着压板运动方向移动的压实功。如砂箱愈高，则摩擦所消耗去的压实功的部分也愈大。因此如前面所示，当砂箱高度增加时可椿实系数 C 随之減少[見式(2)]。

型砂与砂箱壁的摩擦逐漸地消耗垂直压力，因此距压板愈远，愈往砂型深处，椿实度也逐漸減少。

圖 4 所示为用上压法由試驗所得的沿着砂箱高度上的型砂椿实度分佈曲線。砂箱高度乃由分离面（相合处）算起。此曲線証实上述規律，即距离压板愈远，愈往砂型深处，椿实度也逐漸減少。在砂箱下面分离面附近相反的椿实度反而增加（或称为椿实的集中）的原因，是因为型板的坚硬平面阻止型砂在椿实过程中移动。此处的砂粒停留不动，而一些新从上面來的其他砂粒又嵌入它們中間。这种局部椿实的集中在模型的水平部分附近也会發生。

砂箱愈高，則沿砂箱高度上的椿实度分佈得愈不平均。因此压实式造型机僅限於用較低的砂箱。

當用上压法时，在压板底下的椿实度最大（椿得最緊），而模型附近則較小。當用下压法时椿实度的分佈情形則相反：在模型附近的椿实度要高些。这种分佈情形要好得多，因此，用下压法时，砂箱的尺寸可高些。

當無模型压实时（圖 5），在砂箱中水平方向椿实度的分佈接近一致。此时填充框的高度 h 可由下式決定

$$h = H \left(\frac{\delta}{\delta_0} - 1 \right), \quad (5)$$

上式中 H ——砂箱高度；

δ 及 δ_0 ——压实前与压实后砂箱中型砂平均單位体積的重量。

當用平的压板压实有模型的砂箱时，砂箱的容積为 V （圖 6），填充框的高度依下式決定

$$h = \left(H - \frac{V}{F} \right) \left(\frac{\delta}{\delta_0} - 1 \right), \quad (5a)$$

上式中 F ——砂箱平面上的面積。

此時水平方向椿实度的分佈情形已不一致。在模型上面椿得較緊，而在模型四

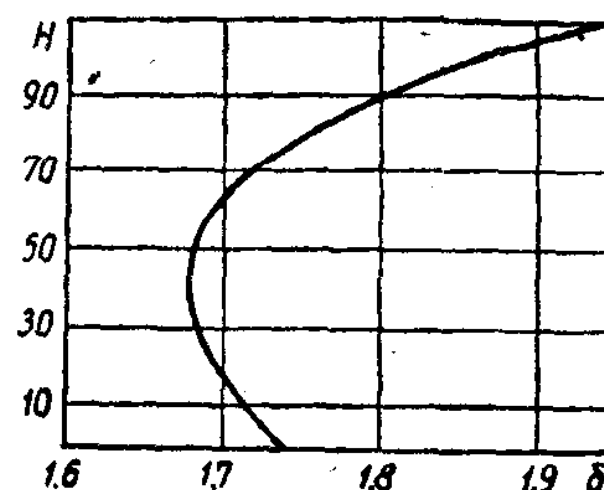


圖 4 用上压法时沿着砂箱中心高度上的型砂椿实度分佈曲線。
砂箱 250×250 公厘， $H_0=210$ 公厘， $p=4.37$ 公斤/公分²。

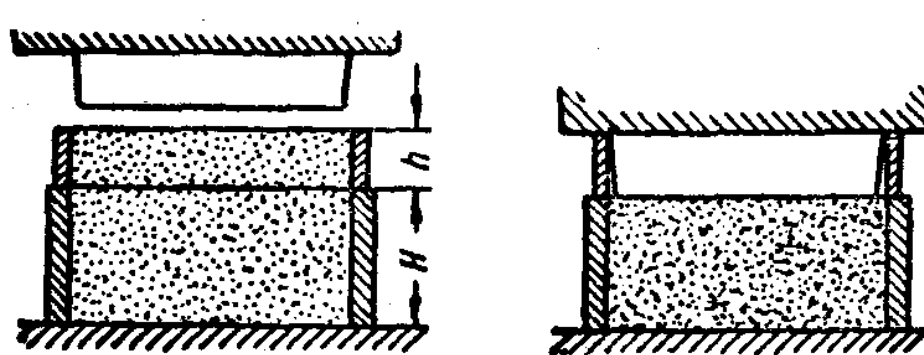


圖 5 無模型压实。

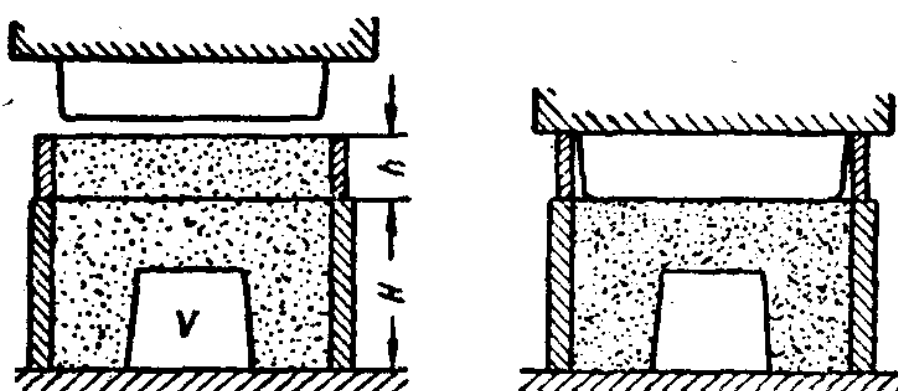


圖 6 有模型用平压板压实。

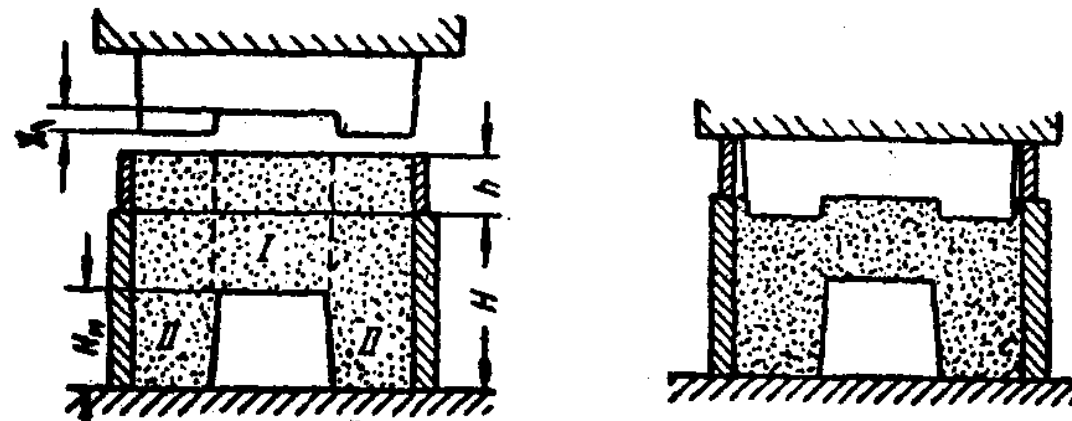


圖 7 用形狀压板压实。

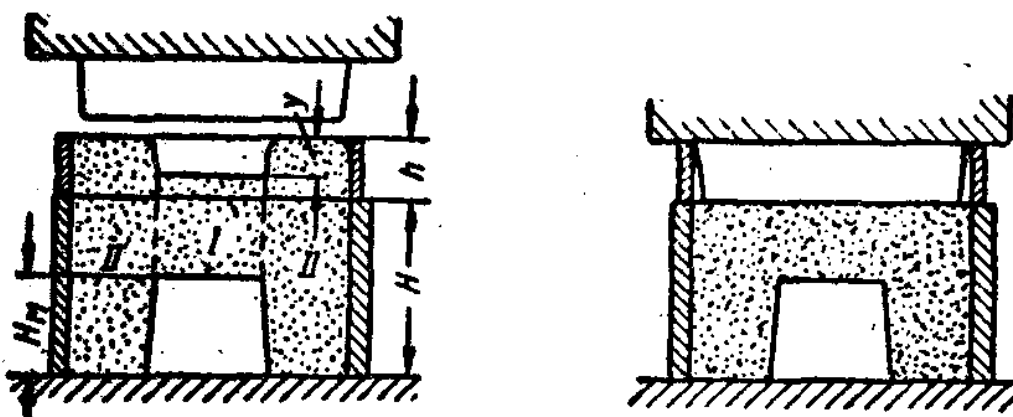


圖 8 用平压板压实而在压实前在模型上部砂内耙一凹穴。

时，机台与砂箱一同上升至 $h=30\sim80$ 公厘，再行下落与固定底板相碰撞。砂箱中型砂由於碰撞时惯性力的作用而撃实。

設当震实台碰撞时，惯性加速度为 j 。

对砂箱中距自由表面 x 深度的水平砂層其厚度为 dx ，可得下式

$$-Fdp - \xi pfUdx + F\delta_0 dx + \frac{F\delta_0}{g} \cdot jdx = 0,$$

上式中 U 与 F ——砂箱周長与面積；

p ——对这一層砂的瞬时垂直压緊应力；

ξ ——側压力系数；

f ——型砂与砂箱壁的摩擦系数；

周則較松。

为了减少这种差別，常常採用形狀压板（圖 7）。此时填充框的高度由式（5）决定，而形狀压板凸出部分的高度依下式决定

$$x = H_m \left(1 - \frac{\delta_0}{\delta}\right), \quad (56)$$

上式中 H_m ——模型高度。

有时为了使模型上面 I 与四周 II 的撃緊度一致，採用平的压板，但在压实前将模型上部的砂耙一凹穴（圖 8）。此时填充框的高度也是依式（5）决定，而凹穴高度則按下式計算

$$\nu = H_m \left(\frac{\delta}{\delta_0} - 1\right). \quad (5B)$$

虽然应用上述种种措施但还不能完全使模型上部与模型四周的撃緊度一样。因此应用很高的、特别是在上部具有很大的水平部分的模型，在压实式造型机上造型是不合理的。

震实式造型机

在震实式造型机上震緊砂型

δ_0 ——碰撞前型砂单位体积的重量,假定沿砂箱高度上均不变化;
 g ——重力加速度。

假定向下的力的符号为正。

解此式求 x

$$x = \int_0^p \frac{dp}{\left(\frac{j}{g} + 1\right)\delta_0 - \frac{U}{F}\xi fp} = -\frac{F}{U} \cdot \frac{1}{\xi f} \cdot \ln \frac{\left(\frac{j}{g} + 1\right)\delta_0 - \frac{U}{F}\xi fp}{\left(\frac{j}{g} + 1\right)\delta_0},$$

为此,在碰撞时的压力为

$$p = \frac{F}{U} \cdot \frac{\delta_0}{\xi f} \left(\frac{j}{g} + 1 \right) \left(1 - e^{-\frac{U}{F}\xi fx} \right), \quad (6)$$

上式中 e ——自然对数的底。

当台面碰撞时,砂型底层所受的压力可能很大。因为,在 1000×800 公厘的砂箱内设深度 $x=300$ 公厘,当 $\delta_0=1.15$ 克/公分³, $\xi=0.45$, $f=0.65$ 及 $j=70g$ 依式(6)碰撞时压力

$$p = \frac{100 \cdot 80}{360} \cdot \frac{1.15 \cdot 10^{-3}}{0.45 \cdot 0.65} (70+1) \cdot \left(1 - e^{-\frac{360}{100 \cdot 80} \cdot 0.45 \cdot 0.65 \cdot 30} \right) = 2.02 \text{ 公斤/公分}^2.$$

当台面碰撞时,砂型内的压力或压紧应力作用的延续时间较压实的要短得多。因此在一次碰撞时间内,型砂压实过程来不及完成,而每次新的碰撞使压实度逐次增加。

直到经过较多的碰撞次数达到稳定的压实度以前,每碰撞一次压实度都在增加。这以后再用同样的碰撞力震实,压实度将不再增加。

普通实际应用的震实一砂型的碰撞次数为 10 至 80 次,常为 30 至 50 次。要较上述达到稳定的压实度所需的极限碰撞次数少得多。

震实对型砂压实的作用可近似地採用当台面碰撞 n 次传予型砂的比功来衡量

$$a = \frac{Q}{F} hn\eta \text{ 公斤公分/公分}^2 \text{ 砂箱面积} \quad (7)$$

或功

$$a_0 = hn\eta \text{ 公斤公分/公斤型砂}, \quad (7a)$$

上式中 Q ——砂箱中型砂重量(公斤);

F ——砂箱面积(公分²);

h ——震实台上升高度(公分);

η ——系数,考虑到由於摩擦及活塞下面的反压力使机器下降部分的动能受到损失。对各种震实式造型机 η 值为 0.3~0.7,依照机器的结构、制造的精度、调整的情况、机器润滑与磨损的情况以及系统中空气的压力而变化。